

## Caso speciale

(1)  $\underline{(m=1)}$  Attenzione  $f \in C^1(S, \mathbb{R}^n)$ ,  $S \subseteq \mathbb{R}^n$

$$\text{e } Jf(x_0) = \nabla f(x_0)$$

(2)  $\underline{(n=1)}$   $S = I \subseteq \mathbb{R}$  intervallo

$f \in C^1(I, \mathbb{R}^m)$  è una curva in  $\mathbb{R}^m$

$$\text{e } Jf(t) = \dot{f}(t) = \begin{pmatrix} \dot{f}_1(t) \\ \vdots \\ \dot{f}_m(t) \end{pmatrix}$$

è la velocità di  $f$  in  $t \in I \subseteq \mathbb{R}$ .

(3)  $\underline{(n=m)}$   $f \in C^1(S, \mathbb{R}^n)$ ,  $S \subseteq \mathbb{R}^n$ .

Questo caso è particolarmente importante (cambiamento di coordinate), si forma si sono

di un solido -  $n=3$  - o di una superficie -  $n=2$ ).

Se  $x_0 \in S$ ,  $Jf(x_0) \in M_{n \times n}$  e possiamo pensare di determinarne le matrici inverse di  $Jf(x_0)$  (incontroremo entrambi in seguito).

(4)  $\underline{(n=2, m=1)}$   $f \in C^1(S, \mathbb{R})$ ,  $S \subseteq \mathbb{R}^2$  aperto.

Si a  $(x_0, y_0) \in S \subseteq \mathbb{R}^2$ . Il piano tangente al grafico di  $f$  nel punto  $(x_0, y_0)$

$$\Pi_{(x_0, y_0)}^f = \{(x, y, z) \in \mathbb{R}^3 : z = f(x_0, y_0) + \frac{\partial f}{\partial x}(x_0, y_0)(x - x_0) + \frac{\partial f}{\partial y}(x_0, y_0)(y - y_0)\}$$

### Osservazione

(4.0.1) (a) È l'equazione di un piano in  $\mathbb{R}^3$ : è un'equazione lineare non degenera (il coefficiente  $\frac{\partial f}{\partial z}$  è  $\neq 0$ ) nelle variabili  $x, y, z$ .

(4.0.2) Il piano  $\Pi_{(x_0, y_0)}^f$  passa per il punto  $(x_0, y_0, f(x_0, y_0))$  e  $\text{grap}(f)$ .

(4.0.3) Il piano  $\Pi_{(x_0, y_0)}^f$  contiene la retta tangente alla curva

$t \mapsto \tilde{f}(t) = (t, y_0, f(t, y_0))$  int  $t=x_0$  e  $S \mapsto \Psi(S) = (x_0, s, f(x_0, s))$  int  $s=y_0$ .

Verifica:  $\dot{\tilde{f}}(x_0) = (1, 0, \frac{\partial f}{\partial x}(x_0, y_0))$

e la retta tangente a  $\tilde{f}$  in  $x_0$  è

$$\begin{aligned} x &\mapsto \tilde{f}(x_0) + \dot{\tilde{f}}(x_0) \cdot (x - x_0) \\ &= (x_0, y_0, f(x_0, y_0)) + (x - x_0, 0, \frac{\partial f}{\partial x}(x_0, y_0)(x - x_0)) \\ &= (x_0, y_0, f(x_0, y_0) + \frac{\partial f}{\partial x}(x_0, y_0) \cdot (x - x_0)) \end{aligned}$$

Si un'ipotesi immediata numero che si tratta delle altre sulle cui punti avanti

coordinata  $(x_0, y_0)$  che sovrappone:

$$(I) \left\{ \begin{array}{l} z - f(x_0, y_0) = \frac{\partial}{\partial x} f(x_0, y_0) \cdot (x - x_0) + \frac{\partial}{\partial y} f(x_0, y_0) \cdot (y - y_0) \\ y = y_0 \end{array} \right.$$

Cioè, nell'integrazione del piano (I) si ha sempre al grafico di  $f$  in  $(x_0, y_0)$  e sul piano (II):  $y = y_0$ .

Lo stesso discorso vale per le altre componenti  $\alpha$  di  $y$  in  $s = y_0$ , che sono:

$$(II) \left\{ \begin{array}{l} z = f(x_0, y_0) + \frac{\partial}{\partial x} f(x_0, y_0) \cdot (x - x_0) + \frac{\partial}{\partial y} f(x_0, y_0) \cdot (y - y_0) \\ x = x_0 \end{array} \right.$$

Poiché le due rette sono distinte, esse individuano il piano che le contiene.

(\*) L'equazione di  $\Pi_{(x_0, y_0)}$  si

ottiene sostituendo nelle

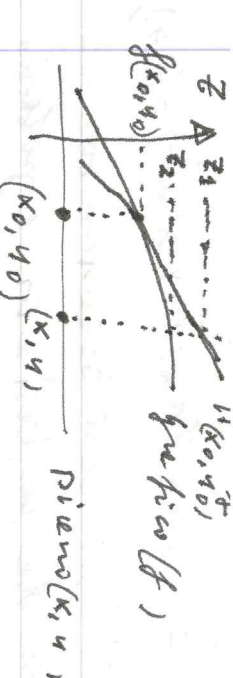
formule di Taylor al 2° ordine (II)

per  $z(x, y)$  con  $z$  e numerando i coefficienti.

Meno formalmente, si ha

$$z_1 = f(x_0, y_0) +$$

$$z_2 = f(x_0, y_0) + \frac{\partial}{\partial x} f(x_0, y_0) \cdot (x - x_0) + \frac{\partial}{\partial y} f(x_0, y_0) \cdot (y - y_0).$$



Piano  $(x, y)$

$$\text{Attores, } z_2 - z_1 = \sigma(x - x_0, y - y_0)$$

L'ipotesi,  $z_2 - z_1$  è "molto piccolo"

rispetto a  $\| (x - x_0, y - y_0) \|$ , che ha lo stesso segno che  $(x, y) - (x_0, y_0)$ .

Si dice anche che l'equazione

$$\text{di } \Pi_{(x_0, y_0)} \text{ linea} \rightarrow \text{linee} \text{ parallele} \text{ di } f;$$

o che il piano  $\Pi_{(x_0, y_0)}$  linea

grafico ( $f$ ) vicino a  $(x_0, y_0)$ ,

ovviamente  $\mathcal{J}$ .

Esempio. Se  $f(x, y) = x \cdot \sin(x^2 + y^2)$ .

Provare se piano tangente al grafico di  $f$  in  $(x_0, y_0) = (\sqrt{\frac{\pi}{3}}, -\sqrt{\frac{\pi}{3}})$ .

$$\text{Calcolo: } f_x(x_0, y_0) = \sin(x_0^2 + y_0^2) + 2x_0 \cdot \cos(x_0^2 + y_0^2)$$

$$f_y(x_0, y_0) = 2x_0 \cdot \cos(x_0^2 + y_0^2)$$

$$f(\sqrt{\frac{\pi}{3}}, -\sqrt{\frac{\pi}{3}}) = \sqrt{\frac{\pi}{3}} \cdot \sin\left(\frac{2}{3}\pi\right) = \sqrt{\frac{\pi}{3}} \cdot \frac{\sqrt{3}}{2} = \frac{\sqrt{\pi}}{2}$$

$$f_x(\sqrt{\frac{\pi}{3}}, -\sqrt{\frac{\pi}{3}}) = \sin\left(\frac{2}{3}\pi\right) + \frac{2}{3}\pi \cdot \cos\left(\frac{2}{3}\pi\right) = \frac{\sqrt{3}}{2} + \frac{2}{3}\pi \cdot \frac{-1}{2}$$

$$f_y(\sqrt{\frac{\pi}{3}}, -\sqrt{\frac{\pi}{3}}) = -\frac{2}{3}\pi \cdot \left(-\frac{1}{2}\right) = \pi/3.$$

$$\bullet z_1 - \frac{\sqrt{\pi}}{2} = \left(\sqrt{\frac{\pi}{3}} - \frac{\pi}{3}\right)(x - \sqrt{\frac{\pi}{3}}) + \frac{\pi}{3}(y + \sqrt{\frac{\pi}{3}}) \text{ è l'equazione.}$$

Esempio. Si e  $F(r, \sigma) = (r \cos \sigma, r \sin \sigma) = (k_1, k_2)$

$F: \mathbb{R}^2 \rightarrow \mathbb{R}^2$ , i.e. cambieremo le

di coordinate, da cartesiane a polari,

$$\text{calcolare } JF(r, \sigma) = J\begin{pmatrix} k_1 \\ k_2 \\ r \\ \sigma \end{pmatrix}.$$

$$\text{Si ha } JF(r, \sigma) = \begin{pmatrix} \cos \sigma & -r \sin \sigma \\ \sin \sigma & r \cos \sigma \end{pmatrix}.$$

Oss. che  $JL(JF(r, \sigma)) = r$ :

si ha "l'ipotesi vettoriale"  $\Rightarrow r = \sigma$

(qualecosa che non interessa).

Esempio. Si e  $A \in M_{m \times n}$  e si e

$$L: \mathbb{R}^n \rightarrow \mathbb{R}^m, \quad L(x) = Ax = y.$$

Allora,  $JL(x) = A$  ( $\forall x \in \mathbb{R}^n$ !).

Esercizio. Verificare che, se  $A \in M_{m \times n}$  e  $b \in \mathbb{R}^m$  e  $y: \mathbb{R}^n \rightarrow \mathbb{R}^m$  è data da

$$y(x) = Ax + b,$$

$$\text{allora } Jy(x) = A \quad \forall x \in \mathbb{R}^n.$$

Esempio / Esercizio. Si e  $A \in M_{m \times n}$  una

matrice simmetrica,  $A = A^T$ , e si definisce la forma quadraticia,

$$Q: \mathbb{R}^n \rightarrow \mathbb{R}, \quad Q(x) = x^T A x = \underbrace{x \cdot (Ax)}_{\text{prodotto di prodotti scalari}}$$

Mostriamo che  $\boxed{\nabla Q(x) = 2x^T A}$  (vettore nullo!).

Esempio. Si e  $I \subseteq \mathbb{R}$  un intervallo e si e  $\varphi \in C^2(I, \mathbb{R}^n)$  una curva.

Mostriamo che

$$\frac{d}{dt} \| \dot{\varphi}(t) \|^2 = 2 \dot{\varphi}(t) \circ \ddot{\varphi}(t)$$

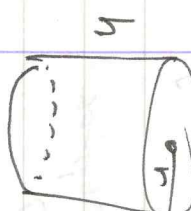
Esercizio: Mostriamo che non in una traiettoria con velocità scalare costante si ha che l'accelerazione è perpendicolare alla traiettoria.

$$\dot{\varphi}(t_0) \perp \ddot{\varphi}(t_0)$$

$$\begin{array}{c} \curvearrowright \\ \downarrow \\ \dot{\varphi}(t_0) \end{array} \quad \ddot{\varphi}(t_0)$$

Esempio: come varie la superficie laterale di un cilindro al variare di altezza e rapporto raggio base?

$$S = \pi r^2 + 2\pi r \cdot h \quad (r > 0, h > 0).$$



$$\frac{\partial S}{\partial r}(h, h) = 2\pi(r + h)$$

$$\frac{\partial S}{\partial h}(h, h) = 2\pi r$$

Esercizio: Si dimostra che più aumentano le

di  $x$  il rapporto  $r$  e aumentano le

di  $r$  le altezze  $h$ ?